

УДК или PACS 12.38.Mh 25.75.Nq 21.65.Qr

## ИССЛЕДОВАНИЯ КВАРК-ГЛЮОННОЙ ПЛАЗМЫ ПРИ НИЗКИХ ЭНЕРГИЯХ

**В.С. Трубников**

ННЦ Харьковский физико-технический институт НАН Украины  
 ул. Академическая 1, 61108 Харьков, Украина  
 e-mail: [vtrubnikov@yahoo.com](mailto:vtrubnikov@yahoo.com)

Received 20 July 2011, revised 16 September 2011, accepted 25 October 2011

В данной краткой обзорной статье рассматриваются некоторые аспекты изучения кварк-глюонной плазмы. Приводятся примеры экспериментально наблюдаемых эффектов, связанных с ее образованием. В частности рассматриваются эффекты усиления образования странных частиц, подавление рождения мезонов  $J/\psi$ , подавление рождения частиц с высоким поперечным импульсом и подавление струй. Отдельное внимание уделяется двум современным экспериментам по изучению кварк-глюонной плазмы при низких энергиях.

**КЛЮЧЕВЫЕ СЛОВА:** физика высоких энергий, КХД, кварк-глюонная плазма

### STUDY OF QUARK-GLUON PLASMA AT LOW ENERGIES

**V.S. Trubnikov**

NSC Kharkov Institute of Physics and Technology NAS Ukraine  
 Akademicheskaya 1 st. 61108 Kharkov, Ukraine

This overview paper deals with several aspects of Quark-Gluon Plasma study (QGP). We discuss some experimental effects considered to be the QGP signatures, in particular strangeness enhancement, suppression of  $J/\psi$  meson production, suppression of high  $P_t$  particle production and jet quenching. Special attention is paid to the two modern experiments dedicated to QGP formation at low energies.

**KEY WORDS:** high-energy physics, QCD, quark-gluon plasma

### ДОСЛІДЖЕННЯ КВАРК-ГЛЮОННОЇ ПЛАЗМИ ПРИ НИЗЬКИХ ЕНЕРГІЯХ

**В.С. Трубников**

ННЦ Харківський фізико-технічний інститут НАН України  
 ул. Академічна 1, 61108 Харків, Україна

У данному обзорі розглядаються деякі аспекти дослідження кварк-глюонної плазми (КГП). Наведено приклади експериментальних ефектів, пов'язаних з утворенням КГП, такі як посилення народження дивних частинок, зменшення народжування  $J/\psi$  мезонів, зменшення народжування частинок з великим поперечним імпульсом та „погашення” струй. Особлива увага приділяється двом сучасним експериментам по дослідження КГП при низьких енергіях.

**КЛЮЧОВІ СЛОВА:** фізика високих енергій, КХД, кварк-глюонна плазма

В соответствии со Стандартной моделью (СМ) и квантовой хромодинамикой (КХД) мы считаем, что материя вокруг нас на элементарном уровне состоит из кварков и лептонов. Кварки - это элементарные блоки материи, в то время как переносчиками сильного взаимодействия между ними являются глюоны. Кварки и глюоны формируют адроны, подчиняясь закону конфайнмента. В соответствии с этим законом кварки и глюоны не наблюдаются в свободном состоянии, они жестко связаны силой, бесконечно растущей при их удалении друг от друга. Однако, в соответствии с современными представлениями об эволюции Вселенной, считается, что материя, образовавшаяся непосредственно после Большого взрыва при временах  $t < 10^{-6}$  с, состояла из свободных кварков и глюонов. Мы не можем воссоздать Большой взрыв в лабораторных условиях, однако, с помощью современных ускорителей, можно попытаться воссоздать некоторые свойства первичной материи на очень короткое время. В частности, в высокозенергетических столкновениях ионов образовавшаяся ядерная материя характеризуется очень высокой барионной плотностью и высокой плотностью энергии (как и первичная материя Большого взрыва). Таким образом, появляется возможность изучить ядерную материю такой, какой она была на самых ранних этапах существования Вселенной. Подобные исследования необходимы для фундаментального понимания сильного взаимодействия в целом.

Развитие ускорительной техники позволило разгонять даже тяжелые ионы практически до скоростей света. В соответствии с современными представлениями, столкновения ионов при таких энергиях сопровождаются образованием фазы, в которой кварки и глюоны могут считаться свободными частицами в масштабах, превышающих размеры протона (нейтрона). Возможность образования такой фазы является следствием явления асимптотической свободы. Последнее означает, что кварки на малых расстояниях не испытывают взаимодействия. Таким образом, если достаточно нагреть и сжать ядерную материю, то нейтроны и протоны в ядрах, из-за своих конечных размеров, начнут перекрываться. При достижении таких условий кварки уже нельзя приписать к какому-то конкретному нуклону, и они могут рассматриваться как свободные частицы. Такой фазовый переход от конфайнмента к деконфайнменту был теоретически предсказан Коллинсом и Перри в 1974 году [1]. При таких условиях систему можно рассматривать как газ квазисвободных,

сильновзаимодействующих夸克ов и глюонов. Позднее это состояние вещества было названо夸克-глюонной плазмой в связи с некоторыми аналогиями с обычной плазмой. Термин夸克-глюонная плазма (КГП) был введен Эдвардом Щуряком в 1978 году [2].

Целью работы является рассмотрение различных аспектов образования КГП и некоторых ее возможных проявлений (сигнатур). Внимание уделяется существующим и будущим экспериментам в энергетическом диапазоне инвариантной энергии  $\sqrt{s}$  до 20 ГэВ.

### ФАЗОВАЯ ДИАГРАММА КХД

КХД добилась больших успехов, в особенности в последние годы. Сложности этой теории связаны с тем, что, если пренебречь массами легких夸克ов, то теория не имеет фундаментального малого параметра.

Потенциал взаимодействия夸克  $q$  и антикварка  $\bar{q}$  имеет вид  $V_{q\bar{q}} = -\frac{4\alpha_s \hbar c}{3} + kr$  (где  $\alpha_s = g^2/4\pi$  –

константа сильного взаимодействия,  $k$  – константа натяжения струны), и бесконечно растет при увеличении расстояния между ними. На помощь приходит методика расчетов КХД на решетках. Особенно эффективными эти методы стали благодаря развитию вычислительной техники. С точки зрения тематики данного обзора нас будет интересовать, каким образом КХД описывает состояние сжатой и/или сильно нагретой ядерной материи. В особенности интересны теоретические предсказания для параметров фазового перехода к состоянию деконфайнента夸克ов. К сожалению, на данном этапе теория не дает однозначных предсказаний. Пока не ясен даже сам характер такого фазового перехода. Уравнение состояния, исследованное в [3] для различных параметров, предполагает переход 1-го рода, или так называемый кросс-овер (crossover).

На Рис.1 показаны области существования ядерной материи, адронного газа и КГП в переменных температуры и барионного химического потенциала. Теоретическая кривая, соответствующая критическому переходу 1-го рода, заканчивается критической точкой, и при дальнейшем увеличении температуры и уменьшении химического потенциала возникает область кросс-овера. Также показаны области, достижимые для изучения в настоящее время при энергиях существующих ускорителей. Отдельного внимания в этом контексте заслуживает ускоритель RHIC (Relativistic Heavy Ion Collider, Брукхэвен, США), на котором недавно начата программа сканирования различных энергий. В процессе реализации этой программы планируется понизить энергию до рекордно низкой для коллайдера RHIC энергии взаимодействия  $\sqrt{s}=5$  ГэВ.

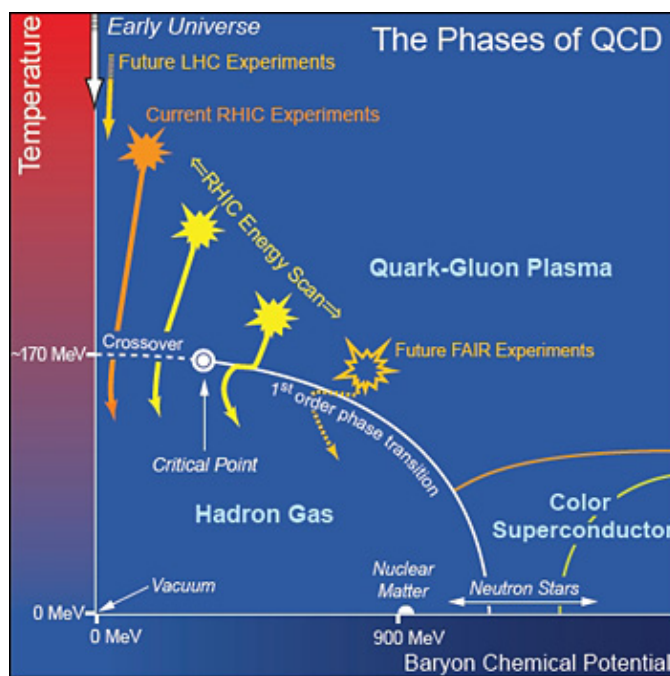


Рис. 1. Фазовая диаграмма КХД  
(с официального сайта Brookhaven National Laboratory [http://www.bnl.gov/today/story.asp?ITEM\\_NO=1870](http://www.bnl.gov/today/story.asp?ITEM_NO=1870))

### НАБЛЮДАЕМЫЕ ЭФФЕКТЫ

Одно из первых систематических исследований по данной тематике было сделано на ускорителе AGS (Alternating Gradient Synchrotron) в Брукхэвене, далее эстафету принял ускоритель SPS (Super Proton Synchrotron) в ЦЕРНе. В наши дни наиболее интересные данные поступают с ускорителя RHIC и, конечно, с

LHC (Large Hadron Collider). В данном обзоре нас, все же, больше будут интересовать существующие и планируемые эксперименты при энергиях несколько десятков ГэВ на пару сталкивающихся нуклонов (этот энергии можно назвать низкими по меркам сегодняшнего дня). Мотивацией изучения КГП при энергиях порядка 10-20 ГэВ является то обстоятельство, что ряд ученых предполагают найти критическую точку перехода к деконфайнменту именно при низких энергиях, а также при обсуждаемых низких энергиях начинают проявляться эффекты, заслуживающие более детального изучения. Далее мы рассмотрим ряд таких эффектов.

### Усиление выхода странных частиц

Изучение рождения странных частиц (то есть частиц, содержащих валентный странный夸克  $s$  или  $\bar{s}$ ) может быть полезным источником информации. Так как при соударении ионов в начальном состоянии ни одна из частиц не содержит валентные странные кварки, то все регистрируемые странные частицы в конечном состоянии, содержащие валентные  $s$  или  $\bar{s}$  кварки, рождаются в результате взаимодействия. Таким образом, изучение рождения «странных» может дать информацию о характере и динамике взаимодействия partонов.

Эффект усиления рождения странных частиц в центральных столкновениях ионов по отношению к элементарным протон-протонным столкновениям ( $p+p$ ) – один из наиболее известных эффектов, по мнению большинства теоретиков, связанный с образованием КГП. В соответствии с этими представлениями, в образовавшемся при столкновении объекте глюоны, кварки и антикварки интенсивно взаимодействуют между собой, что быстро приводит к некоторому равновесию, при котором происходит выравнивание и стабилизация количества кварков (и антикварков) различных ароматов. Это состояние называется химическим равновесием и, согласно теоретическим представлениям, оно достигается при образовании КГП. Таким образом, количество  $s$  и  $\bar{s}$  кварков должно быть примерно таким же, как количество легких кварков  $u$ ,  $\bar{u}$  и  $d$ ,  $\bar{d}$ . Соответственно, может наблюдаться рост образования странных частиц в ядерных столкновениях по сравнению со случаем протон-протонных столкновений.

На рис.2 представлены экспериментальные значения отношения выхода положительных каонов к выходу положительных пи-мезонов, как функции энергии столкновения. Как видно из рисунка, наблюдается резкий рост рождения каонов с увеличением энергии до 6-7 ГэВ, а затем небольшой спад и насыщение вплоть до энергий порядка 200 ГэВ. Наличие такой флукутации позволяет предположить, что этот эффект связан с фазовым переходом. Серыми кружками представлены значения такого же отношения для случая соударения протонов с протонами, для которого подобный эффект не наблюдается. Модель адронного газа хорошо описывает участок резкого роста рождения странных частиц.

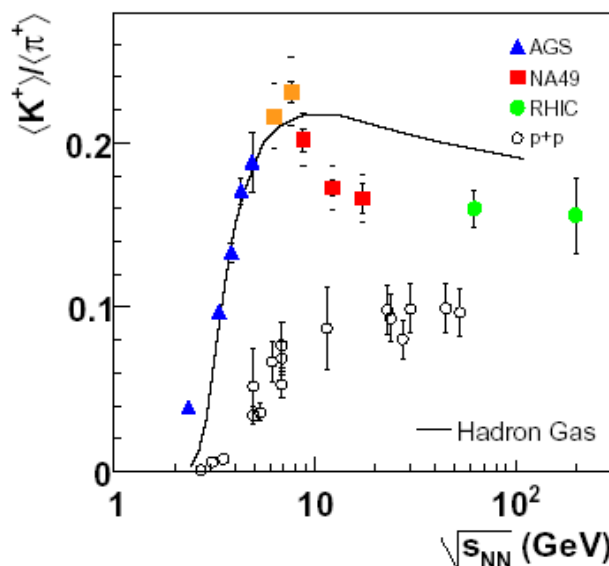


Рис. 2. Отношение усредненного выхода положительно-заряженных К-мезонов к усредненному выходу положительно-заряженных  $\pi$ -мезонов, как функция энергии столкновения  $\sqrt{s_{NN}}$  на пару нуклонов в центральных соударениях ионов свинца. Компиляция данных с экспериментов на ускорителях AGS, SPS и RHIC [4]. Серые, не закрашенные кружки представляют собой те же данные в  $p+p$  столкновениях. Красная – расчет в рамках модели адронного газа

### Подавление рождения J/ψ мезонов

В 1986 году Матцуи и Сатц [5] теоретически предсказали, что в сжатой, сильно взаимодействующей кварк-глюонной среде рождение тяжелых кварковых ароматов, в частности «очарованных» (charm) кварков с

и антикварков  $\bar{c}$ , будет подавлено. В соответствии с этими предсказаниями, такое явление происходит вследствие экранирования цветового заряда в кварк-глюонной среде, что аналогично явлению дебаевской экранировки электрического заряда в обычной среде.

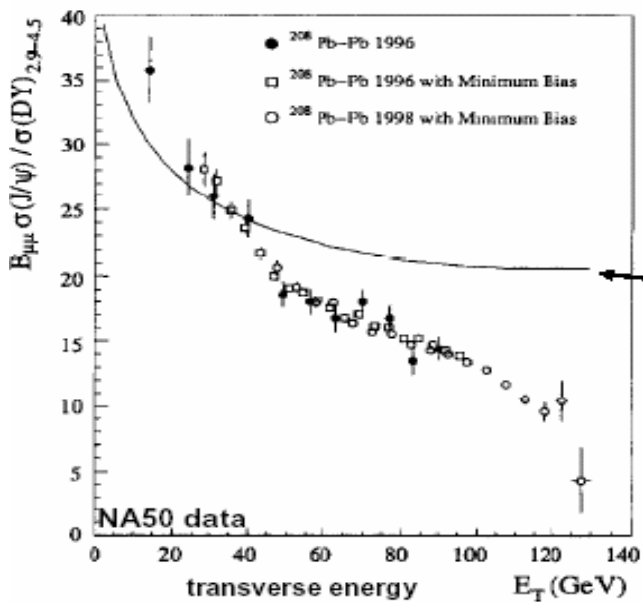


Рис. 3. Эффект аномального подавления рожденных  $J/\psi$  мезонов при столкновении ядер свинца.

Компиляция экспериментальных данных [6]. Представлено отношение сечения образования мезонов  $J/\psi$ , умноженного на брэнчинг  $B(\mu\mu) \equiv Br(J/\psi \rightarrow \mu^+ \mu^-)$ , к сечению рождения пары мюонов в процессе Дрелла-Яна, как функция поперечной энергии. На инвариантную массу пары мюонов наложены ограничения  $2,9 < M < 4,5$  ГэВ (детали см. в [6]). Кривая представляет собой теоретическое предсказание эффекта “нормального” поглощения  $J/\psi$  мезонов в ядерной среде.

Потенциальная энергия связанной системы кварка и антикварка  $c - \bar{c}$  может быть представлена как  $V(r) = kr - \alpha_{eff}/r$ , где  $\alpha_{eff}$  - эффективная константа связи,  $k \sim 1/T$  - коэффициент натяжения струны, где  $T$  – температура. В объекте, образованном в центральном столкновении тяжелых ионов, коэффициент натяжения будет уменьшаться с ростом  $T$  и приближением к критической температуре  $T_c$ . Остаточное цветовое взаимодействие кулоновского типа модифицируется дебаевской экранировкой. В результате, модифицированный потенциал принимает вид

$$V(r) = -\frac{\alpha_{eff} e^{-r/\lambda_D}}{r}, \quad (1)$$

$$\lambda_D(T) = \frac{1}{T} \cdot \sqrt{\frac{2}{9\pi\alpha_{eff}}}, \quad (2)$$

где  $\lambda_D$  - длина дебаевской экранировки. При этом, в низшем порядке теории возмущений, КХД предсказывает зависимость  $\lambda_D$  от температуры (см. (2)). Как видно из выражения (1), на расстояниях меньших длины экранировки, взаимодействие между кварком и антикварком эффективно удерживает их в связанном состоянии,  $J/\psi$  мезоне. Но при повышении температуры (ф-ла (2)), потенциал взаимодействия ослабевает, а радиус эффективного взаимодействия уменьшается. Возникает ситуация, в которой длина экранировки становится меньше боровского радиуса системы  $c - \bar{c}$  в  $J/\psi$  мезоне, и поэтому связанное состояние уже становится невозможным. После распада  $J/\psi$  мезонов, очарованные кварки формируют пары с более легкими партнерами и, d или s, с последующей адронизацией и образованием мезонов. Такой механизм приводит к подавлению рождения  $J/\psi$  мезонов.

Рис.3 демонстрирует аномальное подавление рожденных  $J/\psi$  мезонов в столкновениях ядер свинца. Как видно из рис.3, с увеличением энергии эффект подавления оказывается значительно большим, чем “нормальное” поглощение ядерной средой. На рис.4 аномальное подавление представлено в зависимости от длины пробега системы  $c - \bar{c}$  в ядерной среде, образованной в результате столкновения. Резкий спад этого отношения, выходящий за рамки общей тенденции, позволяет предполагать качественное изменение среды в которой образуются  $J/\psi$  мезоны.

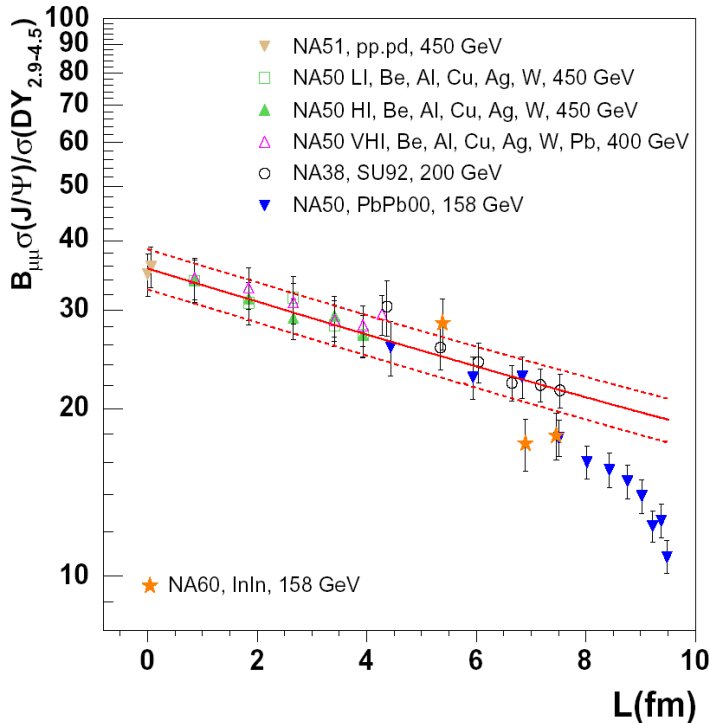


Рис. 4. Эффект аномального подавления рожденных  $J/\psi$  мезонов в зависимости от длины пробега системы  $C - \bar{C}$  в перегретой ядерной среде (см. [6]).

Первые теоретические предсказания температуры, при которой этот эффект имеет место, были довольно неточными. Так, например, в работе [5] была сделана оценка  $T_c = 100\text{-}200$  МэВ. Более современные теоретические модели, описывающие рождение (подавление)  $J/\psi$  мезонов, являются значительно более сложными и включают комбинацию ряда эффектов: рекомбинацию кварков, эффект «затемнения», нормальное поглощение и др. Некоторые экспериментальные данные, полученные в эксперименте PHENIX, свидетельствуют в пользу независимости фактора подавления от плотности энергии в образовавшемся при столкновении двух тяжелых ионов объекте, который носит название фаербол (“fireball”). В настоящее время следует признать, что из-за сложности и многоплановости проблемы, отсутствует полное понимания эффекта подавления тяжелых кварковых ароматов.

#### Подавление выхода частиц с большими поперечными импульсами

Перейдем к обсуждению эффекта подавление рождения частиц с большими поперечными импульсами  $P_t$ . Этот эффект наиболее ярко проявляется при более высоких энергиях столкновений ионов (порядка 200 ГэВ), чем энергии, обсуждаемые в данном обзоре, но тем не менее исследование этого эффекта начинается именно при низких энергиях. По мере поступления и обработки экспериментальных данных было замечено общее снижение выхода частиц с большими поперечными импульсами. При более детальном изучении оказалось, что это явление проявляется сильнее с увеличением «центральности» столкновений, и, кроме того, оно зависит от типа соударяющихся объектов.

Этот эффект был впервые исследован Бьёркеном в 1982 году. Специфика рождения частиц с большими поперечными импульсами в соударениях тяжелых ионов при высоких энергиях (20 – 200 ГэВ) состоит в том, что такие частицы рождаются в результате жесткого взаимодействия партонов (кварков и глюонов) на самых первых стадиях реакции при малых временах  $t \sim 1/P_t \sim 0,1$  Фм/с. Этот процесс удается точно рассчитать в рамках пертурбативной КХД (pQCD) и одним из наблюдавших следствий является скейлинг сечений по переменной количества бинарных нуклон-нуклонных столкновений.

По современным представлениям процесс подавления частиц с большими поперечными импульсами обусловлен прохождением динамики столкновения через фазу КГП. При этом рожденные в жестком взаимодействии партоны перед фрагментацией проходят сквозь плотную, горячую, сильно взаимодействующую среду, теряя при этом часть своей энергии на испускание глюонов. Именно этот эффект и приводит к общему понижению количества частиц, образующихся с большими  $P_t$ .

Количественное описание этого эффекта удобно провести, исследуя фактор ядерной модификации  $R$  (nuclear modification factor). Последний определяется как отношение количества рожденных частиц в случае столкновения ионов к количеству частиц такого же сорта в случае протон-протонных столкновений при той же энергии, и деленное на количество бинарных столкновений при данной центральности АА:

$$R_{AA} = \frac{\text{production (AA)}}{N_{\text{Binary Collisions AA}} * \text{production (pp)}} \quad (3)$$

При этом количество бинарных столкновений  $N_{\text{Binary Collisions AA}}$  в формуле (3) определяется при помощи методов симуляции Монте-Карло в модели Глаубера с учетом геометрии сталкивающихся ядер. Эта величина увеличивается с увеличением центральности столкновений. Нормировка на количество бинарных столкновений применяется исходя из предположения, что частицы рождаются в бинарных партон-партонных взаимодействиях описываемых пертурбативной КХД.

На рис.5 приведены данные для  $R_{AA}$  для нейтральных  $\pi^0$ -мезонов, полученные коллаборацией PHENIX (ускоритель RHIC) в столкновениях ионов золота при 200 ГэВ/с. Как видно из рисунка, при увеличении центральности эффект подавления рождения частиц с большими  $P_t$  становится очень сильным.

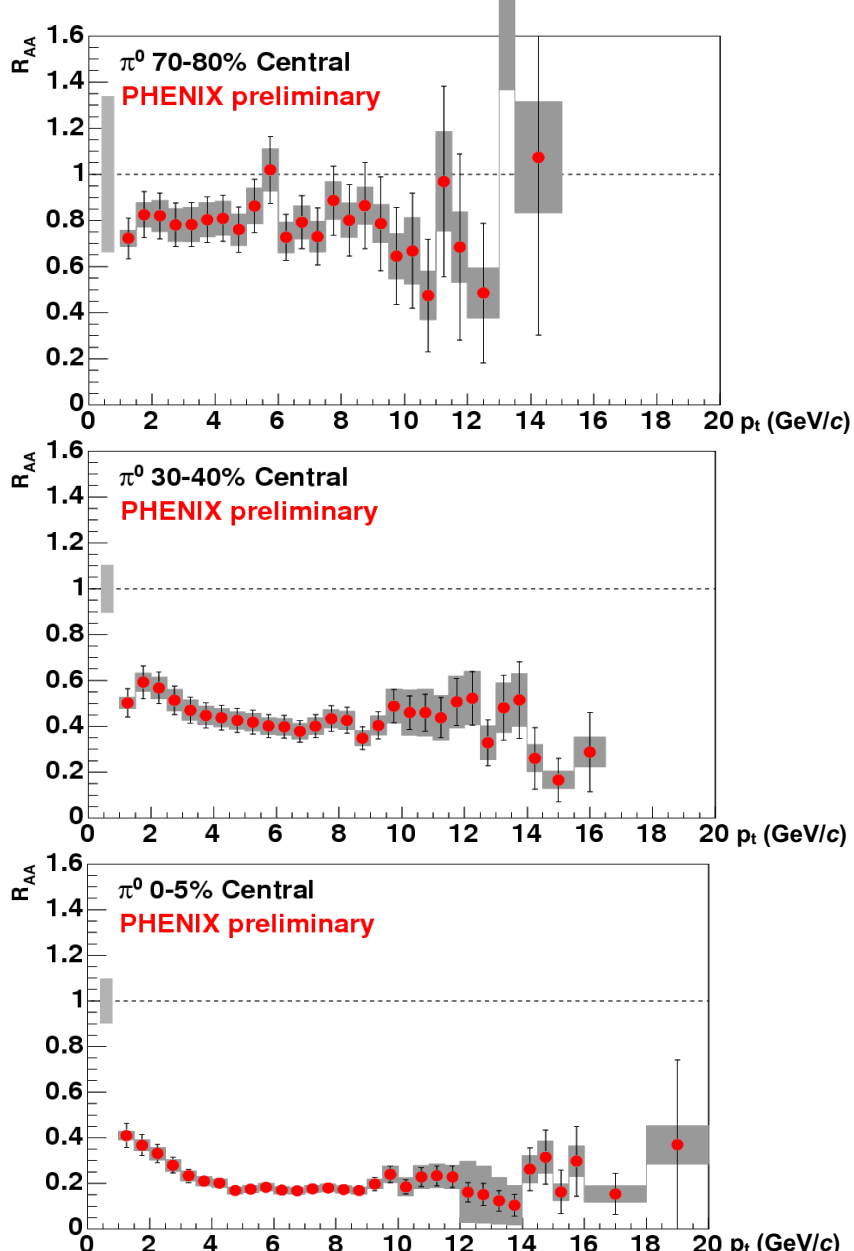


Рис. 5. Фактор ядерной модификации  $R_{AA}$  как функция поперечного импульса для периферических (верхний рисунок), полуцентрализованных (средний) и центральных (нижний) столкновений ионов золота при энергии  $\sqrt{s}=200$  ГэВ. Данные эксперимента PHENIX [7].

При сравнении  $R_{AA}$  при значительно различающихся энергиях SPS (17,3 ГэВ/с) и RHIC (200 ГэВ/с) на рис.6 становится ясно, что при более высоких энергиях характер поведения  $R_{AA}$  в случае заряженных пионов имеет сходную область роста до  $P_t \sim 1$  ГэВ, но затем, с дальнейшим ростом  $P_t$  для энергии RHIC наблюдается явное подавление, в то время как для энергии SPS фактор ядерной модификации  $R_{AA}$  растет вплоть до  $P_t=2$  ГэВ,

оставаясь меньше единицы. К сожалению, дальнейшую эволюцию фактора ядерной модификации  $R_{\text{PbPb}}$  для энергии взаимодействия  $\sqrt{s}=17$  ГэВ трудно проследить в настоящее время из-за недостаточности экспериментальных данных по рождению пи-мезонов в  $p+p$  столкновениях. Возможно, что эта информация будет получена из дальнейших исследований, в том числе на ускорителях RHIC, SPS и NICA. Еще интересней будет изучить эволюцию  $R_{\text{AA}}$  для идентифицируемых частиц, как функцию энергии столкновений в очень широком спектре (от энергий SPS до энергий LHC).

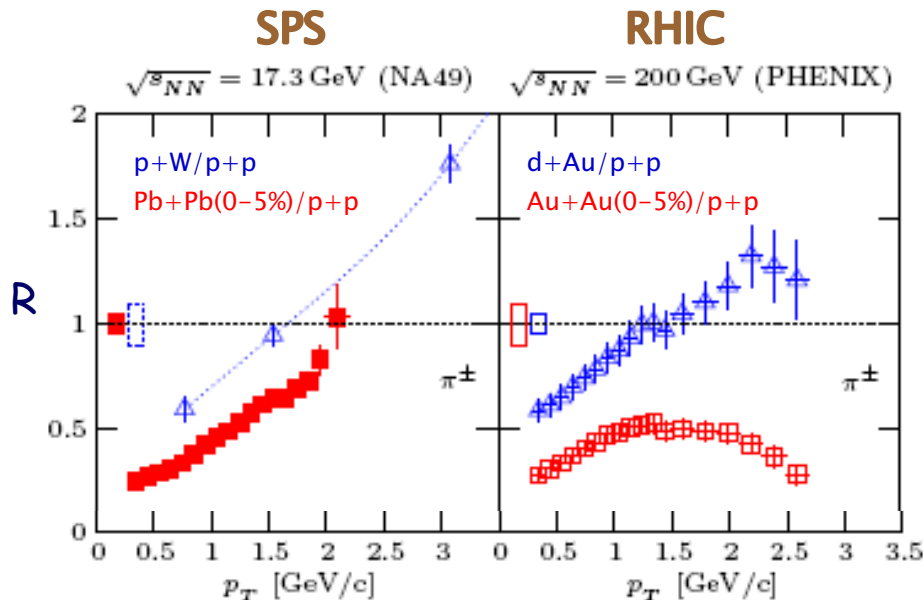


Рис. 6. Сравнение поведения фактора ядерной модификации  $R_{\text{AA}}$ , как функции поперечного импульса, для усредненного количества рожденных заряженных пионов при различных значениях энергии столкновений. Данные с ускорителя SPS (слева) и ускорителя RHIC (справа) [8].

Отсутствие эффекта подавления в случае реакции столкновений ядер дейтерия и золота на RHIC может быть объяснено тем, что в этом случае не ожидается образование КГП, и, следовательно, партоны не будут столь интенсивно терять свою энергию перед процессом фрагментации. Такое явление было подтверждено и в других экспериментах.

Еще одним методом изучения динамики рождения частиц в столкновениях тяжелых ионов является изучение отношения рождения в центральных и в периферических столкновениях (см. [8]). Фактор  $R_{\text{CP}}^{\text{BC}}$  определяется как

$$R_{\text{CP}}^{\text{BC}} = \frac{N_{\text{binary\_peripheral}}}{N_{\text{binary\_central}}} \times \frac{\text{production (AA)central}}{\text{production (AA)peripheral}}, \quad (4)$$

где  $N_{\text{binary\_central}}$  и  $N_{\text{binary\_peripheral}}$  – количество бинарных взаимодействий соответственно в центральных и периферических столкновениях, а  $\text{production(AA)central}$  и  $\text{production(AA)peripheral}$  – выход рассматриваемого типа рожденных частиц.

Фактор  $R_{\text{CP}}^{\text{BC}}$  используется в случае отсутствия данных по  $p+p$  столкновениям и невозможности определения  $R_{\text{AA}}$ . Если в выражении (4) применить нормировку на число задетых (“wounded”) нуклонов, то получим выражение для  $R_{\text{CP}}^W$  в виде

$$R_{\text{CP}}^W = \frac{N_{\text{wounded\_peripheral}}}{N_{\text{wounded\_central}}} \times \frac{\text{production (AA)central}}{\text{production (AA)peripheral}}. \quad (5)$$

Различная нормировка факторов ядерной модификации  $R_{\text{CP}}^{\text{BC}}$  и  $R_{\text{CP}}^W$  мотивирована различными акцентами исследований. Как нами было отмечено выше, нормировка на количество бинарных столкновений удобна для изучения рождения частиц, исходя из предположения, что они рождаются в бинарных партонных взаимодействиях. В тоже время, мы применяем нормировку на число задетых нуклонов для исследования рождения частиц посредством возбуждения и последующего распада частиц - участников столкновения.

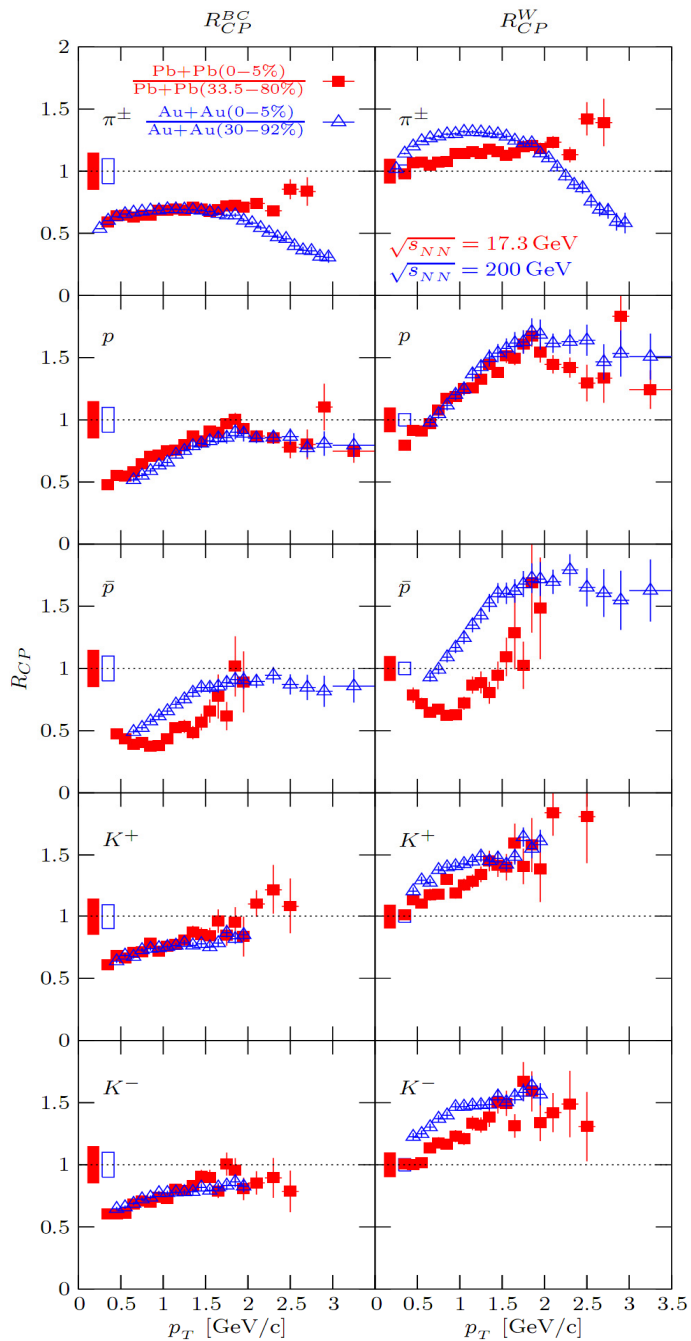


Рис. 7 Факторы  $R_{CP}^{BC}$  и  $R_{CP}^W$  как функции поперечного импульса  $P_t$  для энергий SPS (квадраты) и RHIC (треугольники). Данные представлены для различных идентифицируемых частиц [8].

На рис.7 представлены одни из последних результатов для  $R_{CP}^{BC}$  и  $R_{CP}^W$  с ускорителей SPS и RHIC для различных идентифицируемых частиц. Несмотря на большую разницу в энергии, фактор  $R_{CP}^{BC}$  ведет себя практически одинаково для всех частиц кроме антiproтонов.  $R_{CP}^{BC}$  для заряженных пионов при  $P_t > 2 \text{ GeV}/c$  продолжает расти при низких энергиях, в то время как при энергии RHIC он падает. Из этого можно заключить, что в рассматриваемой области поперечных импульсов подавление имеет очень сходный характер для всех частиц, кроме пи-мезонов. В нашей работе [8] это явление объясняется тем, что в данной области энергий жесткие процессы не вносят заметного вклада, а доминируют скорее “мягкие” процессы. Дальнейшие исследования при более высоких поперечных импульсах могут выявить различия в поведении  $R_{CP}^{BC}$  и  $R_{CP}^W$  при более высоких энергиях.

#### Эффект подавления струй

Одним из интересных явлений в физике столкновений тяжелых ионов является эффект подавления струй. Струи - это скоррелированные сгустки высоконергетичных частиц, которые образуются в результате

фрагментации партонов, имевших большие импульсы. Такие партоны рождаются в жестком взаимодействии (с большим переданным импульсом  $Q^2$ ) партонов исходных частиц. В силу законов сохранения энергии-импульса эти партоны рождаются парами с противоположно направленными импульсами. Эффект подавления струй имеет ту же самую физическую основу, что и подавление выхода частиц с большими поперечными импульсами. Так как лидирующий партон перед фрагментацией проходит через область КГП, он теряет часть своей энергии на излучение глюонов. И в зависимости от геометрии событий, в парах струй будет наблюдаться асимметрия (рис.8). Возможны даже случаи полного поглощения одной из струй пары (например, в случае образования струй на периферии фаербола КГП). При этом одна струя образуется без потерь энергии, в то время как вторая струя полностью поглощается.

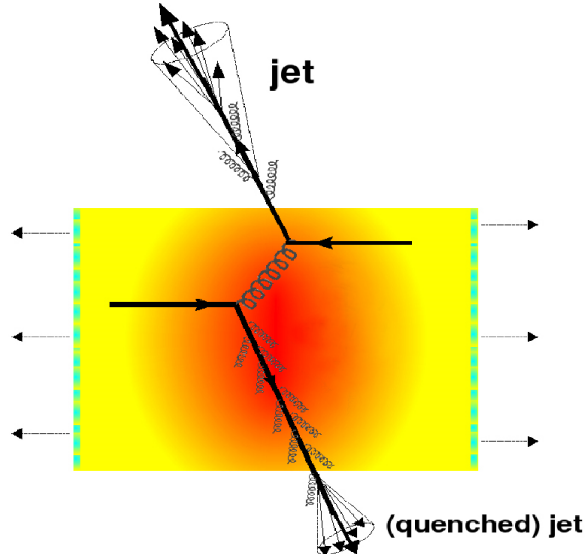


Рис. 8. Жесткое рассеяние партонов, формирующее две противоположно направленные струи. Струи теряют энергию на излучение в зависимости от длины пробега в сильноизменяющемся объеме КГП.

На рис.9 показаны азимутальные распределения рождения частиц по отношению к детектированной струе. Полярную систему координат ориентировали в направлении главной струи ( $\phi=0$ ) и искали струю отдачи в направлении  $\phi=\pi$ . В случае столкновений Au+d и p+p хорошо видны корреляции между основной струей и струей отдачи, в то время как в случае Au+Au струя отдачи (почти) полностью подавлена. Так же наблюдается зависимость от геометрии события. Если струя отдачи лежит в плоскости реакции то, имея более короткий путь до фрагментации, подавляется меньше, в то время как струя вне плоскости подавляется сильнее (рис.9б) Интенсивные исследования физики струй и эффектов их подавления проводятся в настоящее время на ускорителе RHIC (см., например, [9,10]).

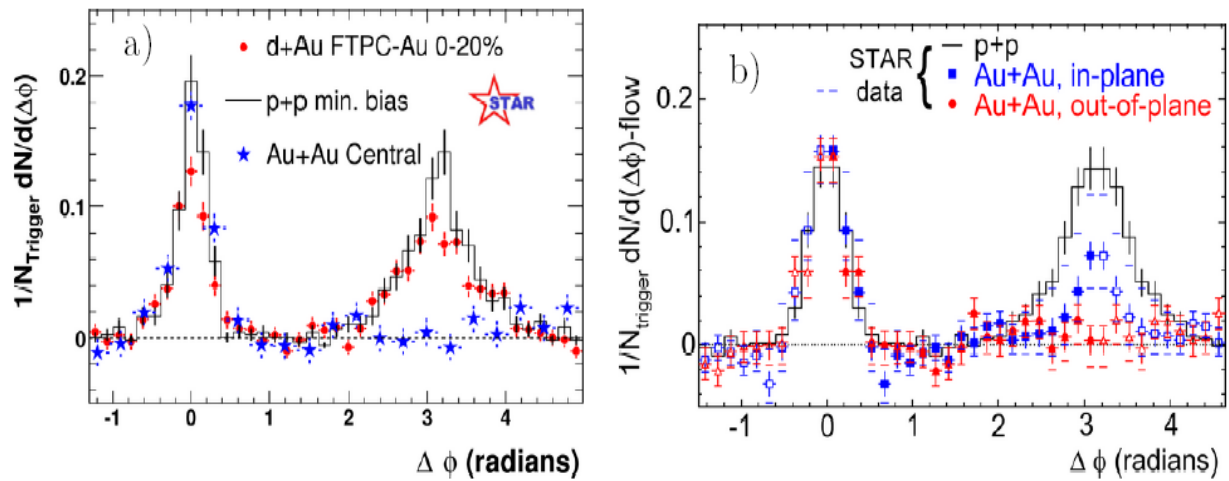


Рис. 9. Азимутальное распределение частиц струи отдачи по отношению к выделенной струе [10].

Наблюдение и изучение подавленных и односторонних струй в соударениях ионов золота при энергиях 200 ГэВ/с является одним из главных достижений коллаборации STAR. Это экспериментальное наблюдение служит весомым аргументом в пользу теории образования КГП.

### Эксперимент NA61 SHINE

Эксперимент NA61 [11] посвящен образованию и изучению плотной и горячей ядерной материи и поиску критической точки деконфайнмента при низких энергиях. Это эксперимент по рассеянию на фиксированной мишени(см. Рис.10) расположенный в ЦЕРНе, на супер-протонном синхротроне SPS. Детектор NA61 - это прошедший модернизацию детектор коллаборации NA49 [12]; он имеет прекрасную эффективность детектирования и идентификации заряженных частиц, что позволяет проводить детальные исследования как элементарных протон-протонных, так и ион-ионных взаимодействий.

Основные компоненты детектора - это два больших сверхпроводящих магнита, генерирующих мощное магнитное поле; четыре малых камеры временной проекции (vertex time projection chamber), служащих для реконструкции вершины первичного взаимодействия; две большие камеры временной проекции, позволяющие реконструкцию трека и идентификацию частиц; массив детекторов времени пролета; и детектора спектаторных частиц. Совокупность информации, поступающей со всех детекторов, позволяет регистрировать и идентифицировать частицы в большой области фазового пространства.

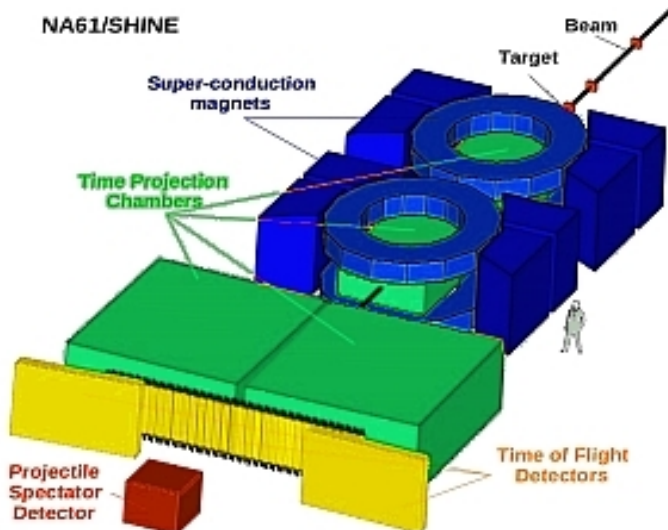


Рис. 10. Схематический вид детектора NA61 [11]

Основным направлением исследований в эксперименте NA61 является поиск фазового перехода от обычной ядерной материи к КГП. Некоторые теоретические модели предсказывают, что это должен быть фазовый переход 1-го рода [13]. Для детального изучения условий и свойств этого перехода была предложена программа по последовательному изучению столкновений при всем спектре энергий и при всех возможных вариантах соударяющихся объектов доступных на ускорителе SPS.

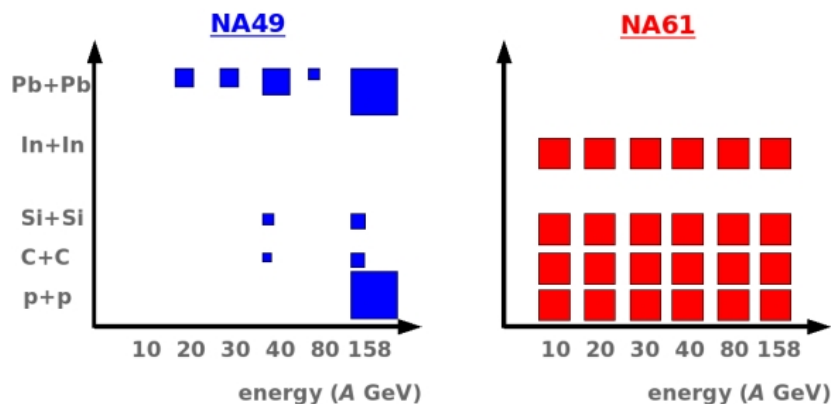


Рис. 11. Сравнение экспериментальных программ экспериментов NA49 (слева) и NA61 (справа). По оси ОХ отложена энергия взаимодействия, по оси ОY - типы сталкиваемых частиц. Размер квадратов пропорционален набранной в экспериментах статистике [11].

Ранее на эксперименте NA49 были собраны существенные массивы экспериментальных данных. Тогда основной акцент был сделан на  $p+p$  и  $Pb+Pb$  столкновениях, что позволило получить много интересных результатов. Как видно из рис.11, программа NA61 ставит перед собой цель существенно расширить массив экспериментальных данных, что позволит детально изучать как уже известные эффекты, так и искать новые.

### Эксперимент NICA MPD

MPD - это проектируемый эксперимент по изучению сжатой ядерной материи на нуклotronе NICA в Дубне [14]. Это эксперимент на встречных пучках ионов и протонов (рис.11). Максимальная энергия взаимодействия  $\sqrt{S}=9$  ГэВ. Исследования на детекторе MPD будут сконцентрированы на изучении смешанной фазы ядерной материи, поисках критической точки фазового перехода и изучении возможных проявлений (сигнатур) КГП.

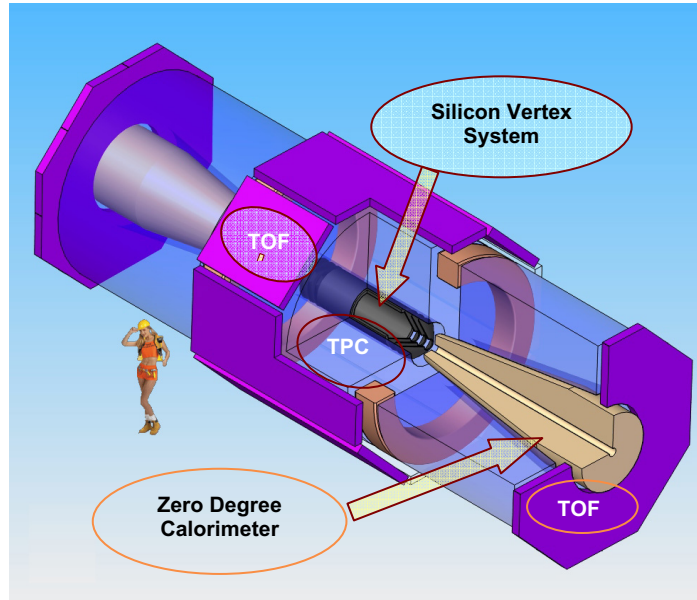


Рис. 12. Схематический вид детектора MPD [14]

Основные составляющие детектора MPD следующие: силиконовый вершинный детектор (Silicon Vertex System); SVS окружен камерами временной проекции (Time Projection Chamber); далее вокруг пучка расположен калориметр малых углов (Zero Degree Calorimeter); внешняя поверхность покрыта массивами детектора времени пролета (Time Of Flight). Дизайн детектора оптимизирован для работы как с реакциями с низкой множественностью, так и для изучения столкновений тяжелых ионов с множественностью порядка 1000 регистрируемых треков. Суммарная информация с детекторов позволяет производить идентификацию частиц.

Может возникнуть естественный вопрос: почему же в наше время большие группы ученых изучают и планируют исследовать столкновения ионов при малых (или небольших) энергиях, в то время как давно работают ускорители при намного более высоких энергиях? Здесь ответ состоит в том, что на основе информации, полученной в предыдущих экспериментах, теоретики, изучавшие фазовую диаграмму КХД и КГП, пришли к выводу, что именно низкоэнергетическое образование КГП может представлять особенный интерес. А именно, детальное изучение столкновений ионов при низких энергиях может позволить определить критические параметры и особенности процесса деконфайнмента кварков.

Какие же имеются основания для таких ожиданий? Поведение кривой, описывающей образование странности на рис.2, позволяет утверждать, что критическую точку следует искать в окрестности энергии взаимодействия  $\sqrt{S}=6-10$  ГэВ. Именно по этой причине в эксперименте NA61 планируется сканирование интересующей нас области энергий (отметим, что  $\sqrt{S}=7$  ГэВ соответствует энергии на нуклон около 30-40 ГэВ), а также эксперименты с разными типами ионов. Эти эксперименты будут выполняться для нахождения систематических особенностей во флуктуациях, что, в свою очередь, позволит определить параметры критической точки перехода к КГП.

Еще одна дополнительная мотивация к исследованиям при низких энергиях, это изучение зависимости барионной плотности фаербола от энергии столкновений. В соответствии с исследованиями Рандрапа и Клейманса, наибольшая барионная плотность в фазе адронизации достигается именно при низких энергиях [15]. Этими авторами показано, что при увеличении энергии пучков становится существенным эффект ядерной прозрачности.

Ядерная прозрачность приводит к тому, что на LHC, в столкновениях ионов, фаербол будет характеризоваться большой плотностью энергии, но барионная плотность в фазе адронизации при этом будет падать. Теоретические кривые зависимости плотности энергии от барионной плотности имеют явный максимум, для которого в [15] была рассчитана энергия встречных пучков. Как видно из рис.13, максимум кривой приходится на область  $\sqrt{S} \sim 7-9$  ГэВ для встречных пучков, и около 30 ГэВ на нуклон для столкновений с фиксированной мишенью. В свою очередь это предсказание неплохо согласуется с ожиданиями, основанными на эффекте роста выхода странности. Поскольку начало экспериментов в Дубне намечено на 2015 год, по-

видимому, следует ожидать первыми результаты эксперимента NA61 SHINE, а затем, как мы надеемся, эти результаты будут подтверждены на установке NICA MPD в Дубне.

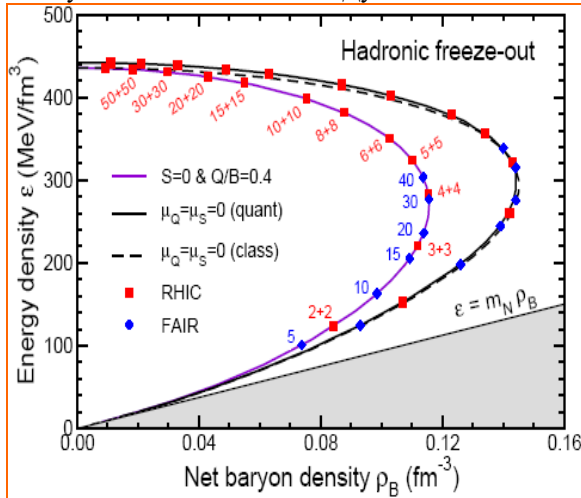


Рис. 13 Корреляция плотности энергии и барионной плотности, рассчитанная для 3-х наборов параметров. Квадратами и ромбами на кривых отмечены энергии взаимодействия, соответствующие данным значениям барионной плотности  $\rho_B$  и плотности энергии  $\epsilon$ . Красные квадраты соответствуют случаю встречных пучков; синие ромбы - для случая фиксированной мишени [15].

### ЗАКЛЮЧЕНИЕ

Тематика данного краткого обзора является одной из самых актуальных в современной физике высоких энергий. Рассмотрены некоторые эффекты, связанные с образованием кварк-глюонной плазмы в столкновениях тяжелых ионов, а именно: усиление выхода странности, подавление рождения  $J/\psi$  мезонов, подавление рождения частиц с большими поперечными импульсами и гашение струй. Акцент сделан на области низких энергий и рассмотрены два современных эксперимента: NA61 SHINE (ЦЕРН, Женева) и NICA MPD (ОИЯИ, Дубна). Используя результаты предыдущих экспериментов и теоретических работ мы привели обоснования для дальнейших исследований низкоэнергетических столкновений тяжелых ионов. Эти исследования, как можно надеяться, смогут пролить свет на процесс образования кварк-глюонной плазмы и помогут определить параметры перехода к состоянию деконфайнмента夸克ов. Отметим, что из нашего рассмотрения было исключено подробное описание ускорителя RHIC и всех экспериментов, проводимых на этой установке. По нашему мнению, программа исследований на RHIC и уже полученные там интересные результаты, заслуживают отдельной публикации.

### СПИСОК ЛИТЕРАТУРЫ

1. J.C. Collins, M.J. Perry Superdense matter: neutrons or asymptotically free quarks? // Phys. Rev. Lett. – 1975. – Vol.34. – P.1353.
2. E.V. Shuryak Quark-gluon plasma and hadronic production of leptons, photons and psions // Phys. Lett. - 1978. – Vol.B78. - P.150.
3. F. Karsch, E. Laermann, A. Peikert, The Pressure in two flavor, (2+1)-flavor and three flavor QCD // Phys.Lett. – 2000 - Vol.B478. - P.447-455.
4. C. Alt et al. [NA49 Collaboration] Pion and kaon production in central Pb+Pb collisions at 20A and 30A GeV: Evidence for the onset of deconfinement // Phys. Rev. - 2008. - Vol.C 77. – P.024903; arXiv:nucl-ex /0710.0118.
5. T. Matsui H. Satz  $J/\psi$  Suppression by quark-gluon plasma formation //Phys. Lett. – 1986. – Vol.B178. - P.416.
6. B. Alessandro et al. A New measurement of  $J/\psi$  suppression in Pb-Pb collisions at 158-GeV per nucleon. [NA50 Collaboration] // Eur. Phys. J. – 2005. – Vol.C39. - P.335.
7. S.S. Adler, et al [PHENIX Collaboration] A Detailed study of high-pT neutral pion suppression and azimuthal anisotropy in Au + Au collisions at  $\sqrt{s_{NN}} = 200$  GeV // Phys. Rev. – 2007. – Vol.C76. - P.034904; arXiv:nucl-ex/0611007v1.
8. C. Alt et al. [NA49 Collaboration] High transverse momentum hadron spectra at  $s(NN)^{**}(1/2) = 17.3$ -GeV, in Pb+Pb and p+p collisions, measured by CERN-NA49 // Phys. Rev. – 2008. – Vol.C77. – P.034906.
9. J. Adams et al. [STAR collaboration] Experimental and theoretical challenges in the search for the quark gluon plasma: The STAR Collaboration's critical assessment of the evidence from RHIC collisions //Nucl. Phys. – 2005. – Vol.A757. - P.102-183.
10. J. Adams et al. [STAR collaboration] Evidence from d+Au measurements for final-state suppression of high  $\$p_T\$$  hadrons in Au+Au collisions at RHIC // Phys. Rev. Lett. – 2003. – Vol.91. – P.072304; arXiv: nucl-ex/0306024.
11. <http://na61.web.cern.ch/na61/xc/index.html>
12. S. Afanasiev et al. [NA49 Collaboration] The NA49 large acceptance hadron detector // Nuclear Instruments and Methods – 1999. – Vol.A430. - P.210.
13. M.A. Stephanov QCD phase diagram: an overview // PoS LAT. – 2006. - :024; arXiv:hep-lat/0701002v1.
14. V. Toneev, The NICA/MPD project at JINR (Dubna) //PoSCPOD. – 2007 - :057; arXiv:nucl-ex/0709.1459v2.
15. J. Randrup, J. Cleymans Maximum freeze-out baryon density in nuclear collisions // Phys. Rev. – 2006. - Vol.C74. – P.047901.